

## 第二十章 电磁感应 (Electromagnetic Induction)



奥斯特 电流磁效应

对称性 → 磁的电效应?

反映了物质世界对称的

美

2

### 本章目录

△ § 20.1 法拉第电磁感应定律

§ 20.2 动生电动势

§ 20.3 感生电动势和感生电场

△ § 20.4 互感

§ 20.5 自感

△ § 20.6 磁场能量

\*△ § 20.7 超导简介

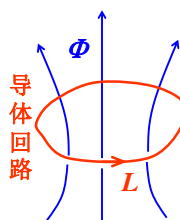
3

### △ 20.1 法拉第电磁感应定律

(Faraday's law of electromagnetic induction)

#### 一. 感应电动势

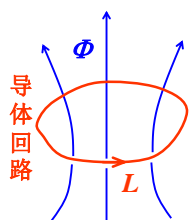
**演示** 电磁感应 (大线圈)  
电磁感应 (发光二极管)  
电磁感应 (单相手摇发电机)



法拉第于1831年总结出规律:

感应电动势  $\varepsilon = -\frac{d\Phi}{dt}$

4



$$\varepsilon = -\frac{d\Phi}{dt}$$

正方向约定:

首先认定回路的绕行方向

当磁力线方向与绕行方向成右螺时

规定磁通量为正 ( $\vec{B}$ 的方向与 $\vec{S}$ 的法线方向一致)

则正电动势方向与绕行方向一致

5

如均匀磁场  $\vec{B}$   $\frac{dB}{dt} > 0$

求: 面积 $S$ 边界回路中的电动势

若绕行方向取如图所示的回路方向 $L$

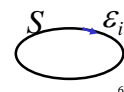
按约定 磁通量为正 即  $\Phi = BS$

由  $\varepsilon_i = -\frac{d\Phi}{dt} = -\frac{dB}{dt}S < 0$

负号说明

电动势的方向

与所设的绕行方向相反



6

若绕行方向取如图所示的方向  $L'$  均匀磁场  $\vec{B}$

按约定 磁通量取负

$$\Phi = -BS$$

由  $\varepsilon_i = -\frac{d\Phi}{dt} = \frac{dB}{dt}S > 0$

正号说明 电动势的方向与所设绕行方向一致

两种绕行方向得到的结果相同

电动势方向的分析 (Leading to Lenz law)

如均匀磁场  $\vec{B}$   $\frac{dB}{dt} > 0$

面积  $S$  边界回路中的电动势如图

如均匀磁场  $\vec{B}$   $\frac{dB}{dt} < 0$

面积  $S$  边界回路中的电动势如图

楞次定律 Lenz law

导体回路

感应电动势  $\varepsilon = -\frac{d\Phi}{dt}$

在此约定下，式中的负号反映了楞次定律 (Lenz law)。

闭合回路中感应电流的方向，总是使它所激发的磁场来阻止引起感应电流的磁通量的变化。

楞次定律是能量守恒定律在电磁感应现象上的具体体现。

用楞次定律判定感应电动势的方向

- 判断  $\Phi_{原}$  的方向
- 判断  $\Phi_{原}$  增还是减
- 判断  $\Phi_{感}$  的方向
- 判断  $I_{感}$  的方向

( $I_{感}$  和  $\Phi_{感}$  成右手螺旋关系)

反映了能量守恒关系

演示 楞次定律

$N$  匝线圈串联:

$$\varepsilon = \sum_i \left( -\frac{d\Phi_i}{dt} \right) = -\frac{d}{dt} (\sum_i \Phi_i)$$

令  $\psi = \sum_i \Phi_i$   $\psi$  — 全磁通

于是有  $\varepsilon = -\frac{d\psi}{dt}$

若  $\Phi_1 = \Phi_2 = \dots = \Phi_N = \Phi$ ,  $\psi$  — 磁链 (magnetic flux linkage) 则  $\varepsilon = -N \frac{d\Phi}{dt}$

例: 直导线通交流电 置于磁导率为  $\mu$  的介质中

求: 与其共面的  $N$  匝矩形回路中的感应电动势

已知  $I = I_0 \sin \omega t$

其中  $I_0$  和  $\omega$  是大于零的常数

解: 设当  $I > 0$  时, 电流方向如图

设回路  $L$  方向如图 建坐标系如图

在任意坐标处取一面元  $d\vec{s}$

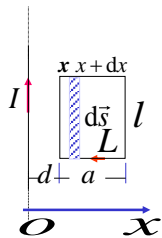
用环路定理求出距载流导线x远处的磁感应强度

$$2\pi x H = I$$

$$B = \mu H = \frac{\mu I}{2\pi x}$$

$$\psi = N\Phi = N \int_S \vec{B} \cdot d\vec{s} = N \int_S B ds$$

$$= N \int_d^{d+a} \frac{\mu I}{2\pi x} l dx$$



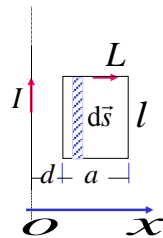
13

$$\Psi = \frac{N\mu I l}{2\pi} \ln \frac{d+a}{d}$$

$$= \frac{\mu N I_0 l}{2\pi} \sin \omega t \ln \frac{d+a}{d}$$

$$\varepsilon_i = - \frac{d\psi}{dt}$$

$$= - \frac{\mu_0 \mu_r N I_0 l \omega}{2\pi} \cos \omega t \ln \frac{d+a}{d}$$



14

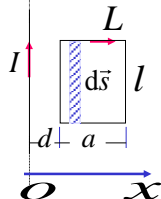
$$\varepsilon_i = - \frac{\mu_0 \mu_r N I_0 l \omega}{2\pi} \cos \omega t \ln \frac{d+a}{d}$$

交变电动势

$$t = \frac{\pi}{\omega} \quad \varepsilon_i > 0$$



$$t = \frac{2\pi}{\omega} \quad \varepsilon_i < 0$$



15

## 二. 感应电流 (induction current)

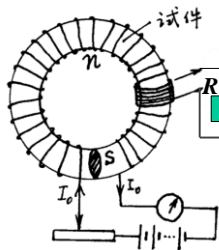
$$I = \frac{\varepsilon}{R} = - \frac{1}{R} \frac{d\psi}{dt}$$

时间间隔  $t_1 \rightarrow t_2$  内, 穿过回路导线截面的 **电量**

$$q = \int_{t_1}^{t_2} I dt = \int_{t_1}^{t_2} - \frac{1}{R} \frac{d\psi}{dt} dt$$

$$= - \frac{1}{R} \int_{\psi_1}^{\psi_2} d\psi = \frac{1}{R} (\psi_1 - \psi_2)$$

$q$  与过程进行的速度无关。



16

$$q = \frac{1}{R} (\psi_1 - \psi_2)$$

测  $q$  可以得到  $\Delta\psi$ ,

这就是磁通计的原理。

$$I_0 \rightarrow B_0 \rightarrow \Phi_0 = \Phi_1$$

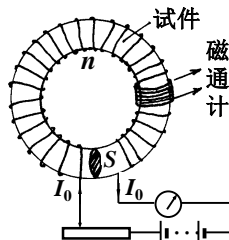
$$-I_0 \rightarrow -B_0 \rightarrow -\Phi_0 = \Phi_2$$

$$q = \frac{1}{R} (\psi_1 - \psi_2) = \frac{2\Phi_0}{R}$$

$$\Phi_0 \rightarrow B_0 = \frac{\Phi_0}{S}$$

$$I_0 \rightarrow H = n I_0$$

由此可得到  $B \sim H$  曲线



17

$$\text{感应电动势} \quad \varepsilon = - \frac{d\Phi}{dt}$$

$$\varepsilon = - \frac{d\Phi}{dt} = - \frac{d}{dt} \int \vec{B} \cdot d\vec{s}$$

感应电动势 { 回路动引起的 **动生电动势**  $\varepsilon_{\text{动}}$   
磁场变引起的 **感生电动势**  $\varepsilon_{\text{感}}$

18

## § 20.2 动生电动势 (motional emf)

### 一. 动生电动势

建坐标如图

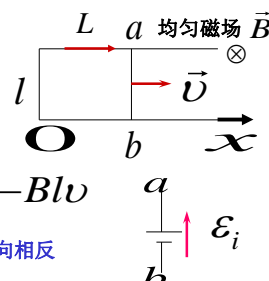
设回路L方向如图

$$\Phi = Blx(t)$$

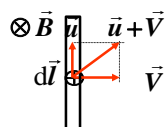
$$\varepsilon_i = -\frac{d\Phi}{dt} = -Bl\frac{dx}{dt} = -Blv$$

负号说明电动势方向与所设方向相反

电动势只在ab导线中产生



19



洛伦兹力 非静电力

$$\vec{F}_m = q(\vec{V} + \vec{u}) \times \vec{B}$$

非静电性场强

$$\vec{E}_K = \frac{\vec{F}_m}{q} = \vec{V} \times \vec{B} + \vec{u} \times \vec{B}$$

电动势

$$\therefore d\varepsilon_{\text{动}} = \vec{E}_K \cdot d\vec{l} = (\vec{V} \times \vec{B}) \cdot d\vec{l} + \underbrace{(\vec{u} \times \vec{B}) \cdot d\vec{l}}_{=0}$$

$$= (\vec{V} \times \vec{B}) \cdot d\vec{l}$$

引起动生电动势的非静电力是洛伦兹力  
(沿导线方向)

20

在一段导线中的动生电动势:

$$\varepsilon_{\text{动}ab} = \int_{(a)}^{(b)} (\vec{V} \times \vec{B}) \cdot d\vec{l}$$

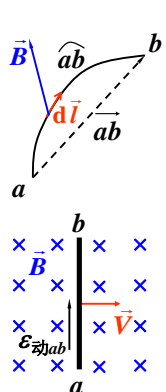
若  $\vec{B} = \text{const.}$ ,  $\vec{V} = \text{const.}$ , 则

$$\varepsilon_{\text{动}ab} = (\vec{V} \times \vec{B}) \cdot \int_{(a)}^{(b)} d\vec{l} = (\vec{V} \times \vec{B}) \cdot \vec{ab}$$

若  $\vec{V}$ 、 $\vec{B}$ 、 $\vec{ab}$  彼此垂直,

则  $\varepsilon_{\text{动}ab} = BV\vec{ab}$

$\varepsilon_{\text{动}ab}$  方向:  $a \rightarrow b$ 。



21

[例]: 如图示,  $\vec{OA} = L$ ,  $\vec{B} \perp \vec{OA}$ ,  $\vec{B} = \text{const.}$ ,  $\vec{OA}$  绕 O 轴转, 角速度为  $\omega$ 。

求:  $\varepsilon_{\text{动}OA}$

解:

$$\varepsilon_{\text{动}OA} = \int_{(O)}^{(A)} (\vec{V} \times \vec{B}) \cdot d\vec{l}$$

$$= -\int_{(O)}^{(A)} VB dl$$

$$= -\int_0^L \omega B dl$$

$$= -\frac{1}{2} \omega B L^2 < 0$$

$\varepsilon_{\text{动}OA}$  方向:  $A \rightarrow O$ , O 点电势高 (积累正电荷)

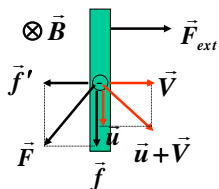
22

### 二. 能量关系

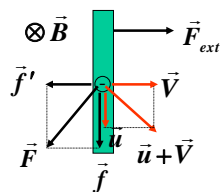
洛伦兹力产生动生电动势, 即洛伦兹力沿导线推动电子要作功, 这和洛伦兹力对运动电荷不作功是否矛盾?

e 受的洛伦兹力为  $\vec{F} = -e(\vec{V} + \vec{u}) \times \vec{B}$ ,

洛伦兹力  $\vec{F}$  和  $\vec{u} + \vec{V}$  垂直, 不作功!



23



$\vec{f}$  对电子作正功, 产生动生电动势。

$\vec{f}'$  对电子作负功, 阻碍导体运动。

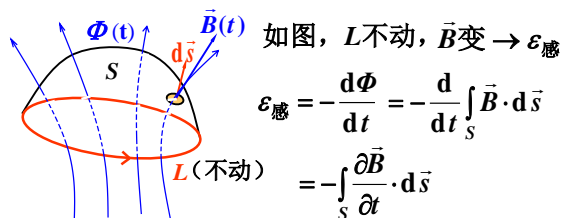
外力  $\vec{F}_{\text{ext}}$  克服  $\vec{f}'$  作功(消耗机械能)

通过  $\vec{f}$  转换为感应电流的能量

24

## § 20.3 感生电动势和感生电场

### 一. 感生电动势 (Induced emf)



符号规定:  $\Phi$  的正向与  $L$  的绕向成右螺旋关系, 由此定出  $d\vec{s}$  法线的正向。

25

$$\epsilon_{\text{感}} = -\int_S \frac{\partial \vec{B}}{\partial t} \cdot d\vec{s}$$

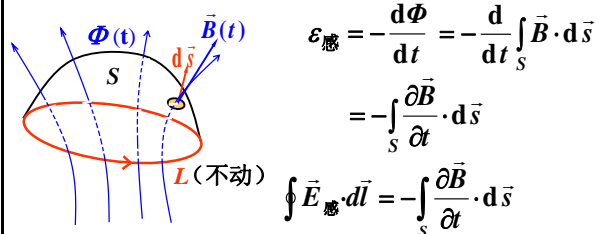
$$\epsilon_{\text{感}} = \oint_L \vec{E}_{\text{感}} \cdot d\vec{l}$$

$$\oint_L \vec{E}_{\text{感}} \cdot d\vec{l} = -\int_S \frac{\partial \vec{B}}{\partial t} \cdot d\vec{s}$$

— 感生电场  $\vec{E}_{\text{感}}$ 。

26

### 二. 感生电场 (induced electric field)



麦克斯韦 (Maxwell) 提出: 变化的磁场可以激发非静电性质的电场 — 感生电场  $\vec{E}_{\text{感}}$ 。

27

### 感生电场 $\vec{E}_{\text{感}}$ 的性质

➢ 感生电场的环流

$$\oint_L \vec{E}_{\text{感}} \cdot d\vec{l} = -\int_S \frac{\partial \vec{B}}{\partial t} \cdot d\vec{s}$$

感生电场是非保守场 — 有旋电场 (curl electric Field), 它不存在相应的“势”的概念。

$$\vec{E} = \vec{E}_{\text{静}} + \vec{E}_{\text{感}}$$

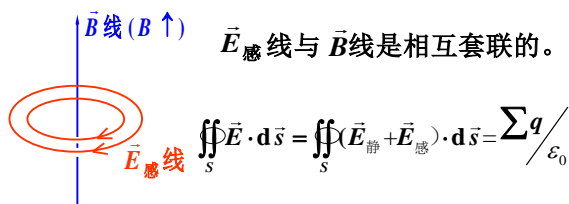
$$\oint_L \vec{E} \cdot d\vec{l} = \oint_L (\vec{E}_{\text{静}} + \vec{E}_{\text{感}}) \cdot d\vec{l} = -\int_S \frac{\partial \vec{B}}{\partial t} \cdot d\vec{s}$$

28

➢ 感生电场的通量

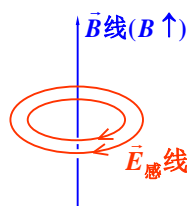
Maxwell 假设:  $\vec{E}_{\text{感}}$  线闭合, 即:

$$\oiint_S \vec{E}_{\text{感}} \cdot d\vec{s} = 0 \quad \text{这已被实验证实。}$$



29

实验表明,  $\epsilon_{\text{感}}$  与导体回路的材料无关。



感生电场与该处有无导体回路无关。

30

感生电场总结：

•有旋电场

$$\oint_L \vec{E}_{\text{感}} \cdot d\vec{l} = - \int_S \frac{\partial \vec{B}}{\partial t} \cdot d\vec{s}$$

•无源场

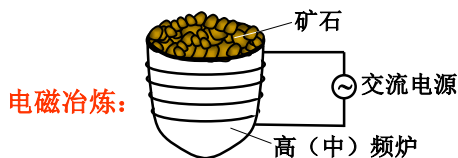
$$\oint_S \vec{E}_{\text{感}} \cdot d\vec{s} = 0$$

与导体回路的材料无关  
与该处有无导体回路无关。

31

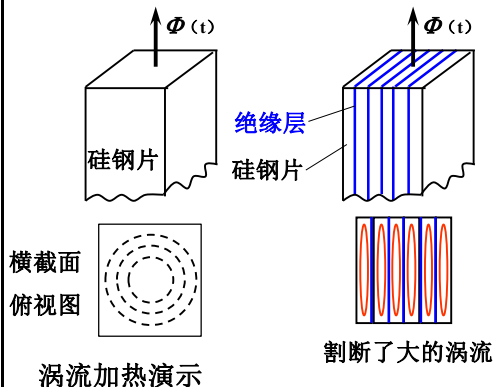
三. 涡流 大块导体中的感应电流称“涡流”。  
(eddy current)

▲热效应



32

减小涡流的措施：

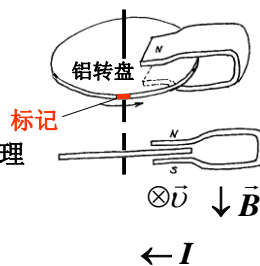


33

▲机械效应

电磁阻尼：

电度表的阻尼原理  
(书中习题20.10)



演示 涡流加热

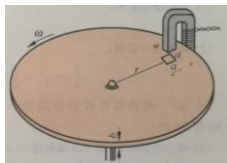
涡流阻尼摆

涡流阻尼管

34

[例]电磁阻尼

一金属圆盘，电阻率为 $\rho$ ，厚度为 $b$ ，在转动过程中，在离转轴 $r$ 处面积为 $a^2$ 的小方块内加以垂直于圆盘的磁场 $B$ ，如图所示。试导出当圆盘转速为 $\omega$ 时阻碍圆盘的电磁力矩的近似表达式



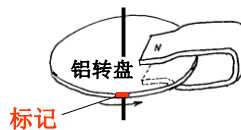
$$\text{解: } \varepsilon_i = \int (\vec{v} \times \vec{B}) \cdot d\vec{l} = \int \vec{v} \times \vec{B} \cdot d\vec{l} = \omega r B a$$

$$R = \frac{\rho l}{S} = \frac{\rho a}{ab} = \frac{\rho}{b}$$

$$I = \frac{\varepsilon_i}{R} = \frac{\omega r B a}{\frac{\rho}{b}} = \frac{\omega r B a b}{\rho} \quad M = r F = r I a B = \frac{\omega (r B a)^2 b}{\rho}$$

35

用楞次定律分析电磁阻尼



电磁阻尼的应用



36

#### 四. 感应电场的计算举例

已知：无限长直载流螺线管  
 $n$ 、 $R$ 、 $I = \alpha t, \alpha = \text{const.}$

求： $\vec{E}_{\text{感}}$

解：无限长直载流螺线管有：

$$\vec{B} = \begin{cases} \mu_0 n I \cdot \vec{k}, & r < R \\ 0, & r > R \end{cases}$$

由无限长和轴对称条件，应有  $\vec{E}_{\text{感}} = \vec{E}_{\text{感}}(r)$ 。

由  $\oint_S \vec{E}_{\text{感}} \cdot d\vec{s} = 0$ ，有  $E_{\text{感}r} = 0$ 。

该电流系统对垂直轴线的反射面反演不变，

$\vec{E}_{\text{感}}$  是极矢量，故应有： $E_{\text{感}z(r)} = 0$ 。

37

综上所述，应有：

$$\vec{E}_{\text{感}}(r) = E_{\text{感}\varphi(r)} \vec{e}_{\varphi} \stackrel{\text{令}}{=} E_{\text{感}} \vec{e}_{\varphi}$$

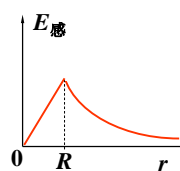
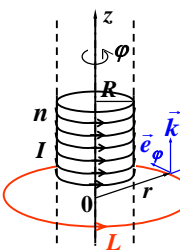
$$\oint_L \vec{E}_{\text{感}} \cdot d\vec{l} = E_{\text{感}} \cdot 2\pi r = -\frac{d\Phi}{dt}$$

$$r < R: \Phi = B \cdot \pi r^2 = \mu_0 n \alpha t \cdot \pi r^2$$

$$\vec{E}_{\text{感}} = -\frac{1}{2\pi} \frac{d\Phi}{dt} \cdot \vec{e}_{\varphi} = -\frac{1}{2} \mu_0 n \alpha r \vec{e}_{\varphi} \propto r$$

$$r > R: \Phi = B \cdot \pi R^2 = \mu_0 n \alpha t \cdot \pi R^2$$

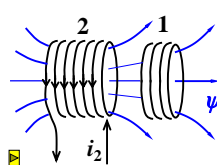
$$\vec{E}_{\text{感}} = -\frac{1}{2\pi} \frac{d\Phi}{dt} \cdot \vec{e}_{\varphi} = -\frac{\mu_0 n \alpha R^2}{2r} \vec{e}_{\varphi} \propto \frac{1}{r}$$



38

#### △ § 20.4 互感 (mutual inductance)

##### 一. 互感系数 (coefficient of mutual inductance)



线圈1、2不变  
 相对位置不变  
 介质不变  
 无铁磁质

$$\begin{cases} \psi_{12} = M_{12} \cdot i_2 \\ \psi_{21} = M_{21} \cdot i_1 \end{cases}$$

$$M_{21} = M_{12} = M = \text{const.}$$

$M$  称互感系数，它由两线圈的大小、形状、圈数、相对位形和介质情况决定。

39

$$\psi_{12} = M_{12} \cdot i_2 \Rightarrow \psi_{12} = M \cdot i_2$$

$$\psi_{21} = M_{21} \cdot i_1 \Rightarrow \psi_{21} = M \cdot i_1$$

$$M \text{ 的单位: } \text{H (亨利)} = \frac{\text{Wb (韦伯)}}{\text{A (安)}}$$

$$\text{互感电动势 } \varepsilon_{12} = -\frac{d\psi_{12}}{dt} = -M \frac{di_2}{dt}$$

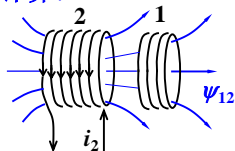
规定： $i_2$  正向  $\xrightarrow{\text{右手螺旋}}$   $\psi_{12}$  正向  $\xrightarrow{\text{右手螺旋}}$   $\varepsilon_{12}$  正向。

$$\text{同理互感电动势 } \varepsilon_{21} = -\frac{d\psi_{21}}{dt} = -M \frac{di_1}{dt}$$

40

##### 二. 互感系数的计算：

• 方法一：



$$\psi_{12} = M \cdot i_2 \quad \psi_{21} = M \cdot i_1$$

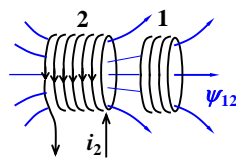
或设  $i_2 \rightarrow B_2 \rightarrow \psi_{12} \rightarrow M = \frac{\psi_{12}}{i_2}$   
 或设  $i_1 \rightarrow B_1 \rightarrow \psi_{21} \rightarrow M = \frac{\psi_{21}}{i_1}$

哪条路方便，就按哪条路计算。

思考：哪条路计算  $M$  方便？  
 线圈1 线圈2

41

• 方法二：



$$\varepsilon_{21} = -M \frac{di_1}{dt}$$

$$\varepsilon_{12} = -M \frac{di_2}{dt}$$

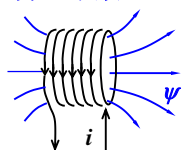
$$\frac{di_1}{dt} \rightarrow \varepsilon_{21} \Rightarrow M$$

$$\frac{di_2}{dt} \rightarrow \varepsilon_{12} \Rightarrow M$$

42

## § 20.5 自感 (self-inductance)

### 一. 自感系数 (coefficient of self-inductance)



线圈不变形  
介质不变化  
无铁磁质

$$\psi = Li$$

$$L = \text{const.}$$

$L$  称自感系数 (电感量), 它由线圈圈数、形状、尺寸、介质情况等因素决定。

$L$  的单位: H (亨利)

为保证  $L > 0$ , 规定  $\psi$  的正向与  $i$  的正向成右手螺旋关系。

43

自感电动势

$$\varepsilon_L = -\frac{d\psi}{dt} = -L\frac{di}{dt}$$

$\varepsilon_L$  的正向与  $i$  的正向一致。

### 二. 自感系数 (电感) 的计算

1. 由  $L = \psi/i$  计算: 设  $i \rightarrow B \rightarrow \psi \rightarrow L$

例如长直螺线管:  $B \approx \mu ni \rightarrow \psi \approx nl \cdot \mu ni \cdot S$

→ 自感系数  $L \approx \mu n^2 V$  ( $V = lS$ )

44

2. 由  $L = \left| -\frac{\varepsilon_L}{di/dt} \right|$  计算:  $\varepsilon_L, \frac{di}{dt} \rightarrow L$

由此可知:  $\frac{\text{V} \cdot \text{s (伏秒)}}{\text{A (安)}} = \frac{\text{Wb (韦伯)}}{\text{A (安)}}$

3. 由能量关系

$$W_m = \frac{1}{2} LI^2$$

$$L = \frac{2W_m}{I^2}$$

45

### 三. 自感 (电感) 的特点

$$\varepsilon_L = -\frac{d\psi}{dt} = -L\frac{di}{dt}$$

自感线圈中  $\varepsilon_L \neq \infty \rightarrow \frac{di}{dt} \neq \infty \rightarrow i$  不能突变。

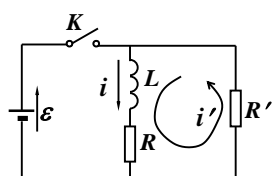
由楞次定律得知,  $i$  的变化受到  $\varepsilon_L$  的阻碍,

∴  $L$  对交流电流有感抗, 但对直流电流畅通。

(对比: 电容器电压不能突变, 可以通过交流电流, 而隔断直流电流。)

自感线圈中  $i$  的变化规律: 见书中例20.8

46

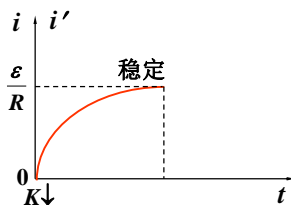


$$\varepsilon - L\frac{di}{dt} - iR = 0$$

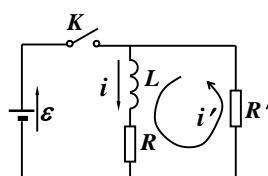
$$\frac{di}{\varepsilon/R - i} = -\frac{R}{L} dt$$

$$K \downarrow: i = \frac{\varepsilon}{R} (1 - e^{-t/\tau})$$

$$\tau = \frac{L}{R} \text{ — 时间常数}$$

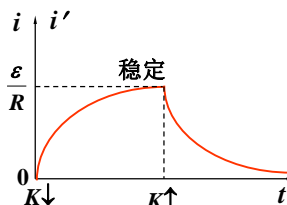


47



$$K \uparrow: i' = \frac{\varepsilon}{R} e^{-t/\tau'}$$

$$\tau' = \frac{L}{R + R'}$$



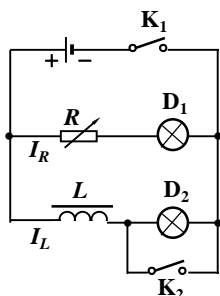
$$-L\frac{di'}{dt} - i'R - iR' = 0$$

$$\frac{di'}{i'} = -\frac{R + R'}{L} dt$$

48



### 演示 电感中的电流不能突变

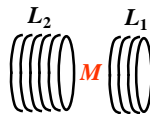


在 $K_2$ 断开的情况下，  
接通 $K_1$ ： $D_1$ 立刻亮  
 $D_2$ 迟些亮  
 $K_1$ 和 $K_2$ 接通的情况下，  
再断开 $K_1$ ： $D_1$ 闪亮后熄灭  
(需要 $I_L > I_R$ )

演示的电路图

49

### \*四.自感与互感的关系



可以证明： $M = k \sqrt{L_1 L_2}$

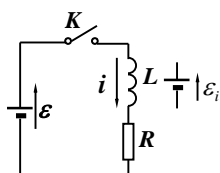
$k$  —— 耦合系数 (coupling coefficient),  
 $0 \leq k \leq 1$

$k$  由介质情况和线圈1、2的相对位形决定。

50

### △ § 20.6 磁场能量

#### 自感磁能



$$i = \frac{\varepsilon}{R} (1 - e^{-t/\tau}) \quad \tau = \frac{L}{R}$$

$$\varepsilon_i = -L \frac{di}{dt}$$

$$W_m = \int_0^I L \frac{di}{dt} i dt = \frac{1}{2} LI^2$$

$$W_m = \frac{1}{2} LI^2 \quad \text{类比: } W_e = \frac{1}{2} CV^2$$

可以利用  $W_m = \frac{1}{2} LI^2$  计算自感系数 $L$

51

#### 自感磁能

$$W_m = \frac{1}{2} LI^2$$

对长直螺线管由  $B = \mu nI$  和  $L = \mu n^2 V$ , 得:

$$W_m = \frac{B^2}{2\mu} V$$

#### 磁能密度

$$w_m = \frac{B^2}{2\mu} = \frac{1}{2} BH = \frac{1}{2} \vec{B} \cdot \vec{H}$$

这说明磁能储存于磁场中。

上结果适用于除铁磁质外的一切线性磁化介质。

$$\text{磁场能量} \quad W_m = \int_V \frac{1}{2} \vec{B} \cdot \vec{H} dV$$

从能量角度理解电感中电流之所以不能突变，  
是因为磁能不能突变，否则功率将为无限大。

从磁能角度看，任何一个电流系统都有相应的  
电感量 $L$ ，也可以从能量出发计算 $L$ ：

$$L = \frac{2W_m}{I^2}$$

53

### \* △ § 20.7 超导简介

#### 一. 基本特性

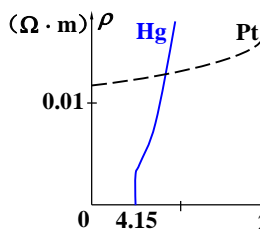
##### 1. 零电阻现象

Hg:  $T < 4.15\text{K}$ 时，  
出现超导态。

$$\rho = 0 \rightarrow R = 0$$

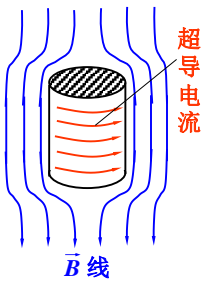
$$I \neq 0, \quad U = 0.$$

∴ 超导体内总是有  
电场强度  $E = 0$



54

## 2. 完全的抗磁性 (Meissner效应)



$\Phi_{\text{内}} = 0$  (第一类超导体)

$\therefore$  超导体内  $B = 0$

表面  $10^{-5}\text{cm}$  厚度内有超导电。在此薄层内  $B$  不完全为 0。

表面超导电流的磁场在超导体内与外磁场完全抵消。

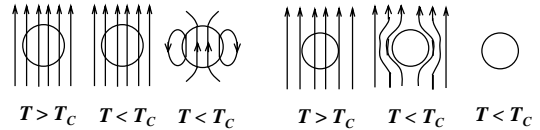
55

零电阻现象和完全的抗磁性是超导体的两个独立的性质。

仅仅具有零电阻的导体称为完全导体。

完全导体内可以有磁通，但磁通不能改变。

而超导体内什么情况下都不会有磁通。



$T > T_C$   $T < T_C$   $T < T_C$   
完全导体

$T > T_C$   $T < T_C$   $T < T_C$   
超导体

56

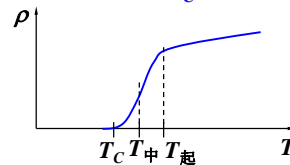
一块磁铁悬浮在已进入超导态的超导材料上。



57

## 二. 三个临界参量

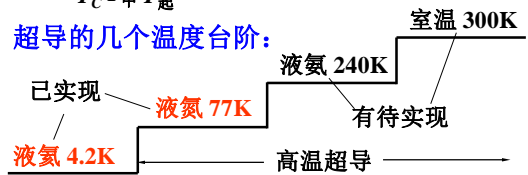
### 1. 临界温度 $T_C$



$T < T_C$  时,  $\rho = 0$

一般高温超导体的  $T_C$  可达  $\sim 150\text{K}$ 。

超导的几个温度台阶:



58

## 2. 临界磁感强度 $B_C$

超导态的  $B < B_C$ ,  $B > B_C$  时则“失超”。

$$B_C(T) = B_C(0) \cdot \left[ 1 - \left( \frac{T}{T_C} \right)^2 \right], \quad (T \leq T_C)$$

$T \uparrow \rightarrow B_C \downarrow$ ,  $T = T_C$  时,  $B_C = 0$

## 3. 临界电流密度 $j_C$

超导体中  $j > j_C$  时则“失超”。

$$j_C(T) = j_C(0) \cdot \left[ 1 - \left( \frac{T}{T_C} \right)^2 \right], \quad (T \leq T_C)$$

目前  $j_C \sim 10^6 \text{A/cm}^2$  (薄膜中)

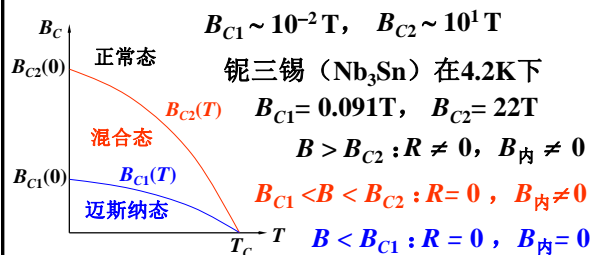
59

## 三. 两类超导体

第一类超导体只有一个  $B_C$  (一般金属)

$B < B_C$  超导态  $R=0$ ,  $B_{\text{内}}=0$

第二类超导体有  $B_{C1}$  和  $B_{C2}$  (一般合金)



$B_{C1} \sim 10^{-2} \text{T}$ ,  $B_{C2} \sim 10^1 \text{T}$

铌三锡 ( $\text{Nb}_3\text{Sn}$ ) 在  $4.2\text{K}$  下

$B_{C1} = 0.091\text{T}$ ,  $B_{C2} = 22\text{T}$

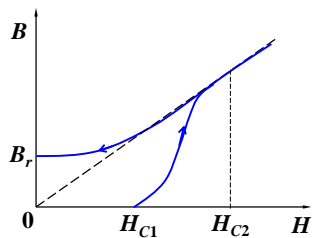
$B > B_{C2}$ :  $R \neq 0$ ,  $B_{\text{内}} \neq 0$

$B_{C1} < B < B_{C2}$ :  $R = 0$ ,  $B_{\text{内}} \neq 0$

$B < B_{C1}$ :  $R = 0$ ,  $B_{\text{内}} = 0$

60

掺杂的第二类超导体（非理想第二类超导体）有磁滞现象，所以可以倒悬浮。



控制杂质的缺陷，  
可以大大地提高临界电流密度  $j_c$ 。

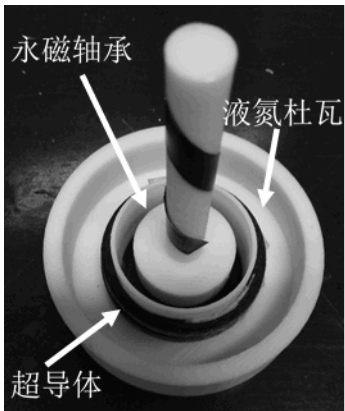
演示 超导磁悬浮和倒悬浮 超导磁悬浮轴承  
四. 超导在技术中的应用

61



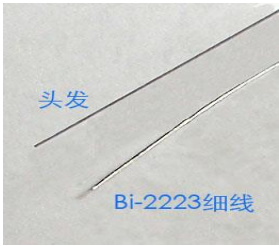
超导磁悬浮列车

62

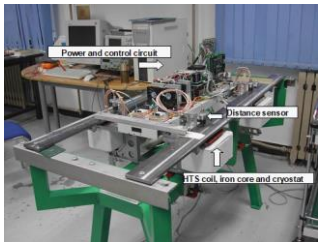


超导磁悬浮轴承

63

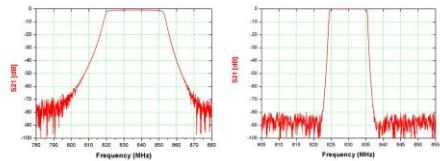


64



世界上第一台利用Bi系高温超导  
导线开发的基于EMS方式的磁悬浮  
小车于2004年5月成功实现悬浮。

65

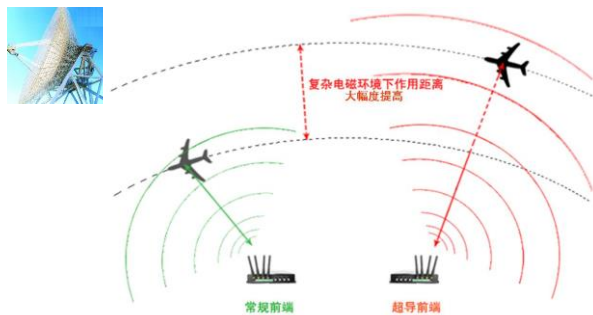


我国首台移动通信用超导滤波器的滤波特性（右）比  
普通滤波器的（左）大幅提高了频率响应特性比较。

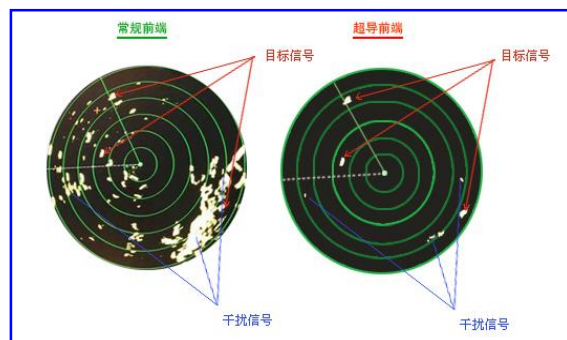


66

## 军事需求



灵敏度提高50%以上(2~5 dB) 侦察预警范围扩大到2倍以上



抗干扰能力提高50dB, 相当于10万倍 玉树地震 68

## 西南交大研制的高温超导磁悬浮列车的性能:

- ▲ 2000年12月31日研制成功。
- ▲ 全部采用国产熔融织构法制备的YBaCuO高温超导体块材, 其液氮低温容器工作时间大于6小时。
- ▲ 在自重220kg时, 悬浮高度达35mm。  
在承载5人(总重530kg)时, 悬浮高度大于20mm。
- ▲ 最大承载大于1000kg。
- ▲ 永磁导轨用钕铁硼(NdFeB)制成, 永磁导轨表面磁感强度1.2T。



第二十章结束

69